Giornata di Studio sulla Radiografia Muonica in ambito multidisciplinare — GSRM2018 29-30 ottobre 2018 (Firenze)

Introduzione alla radiografia muonica per assorbimento e sue applicazioni



D. Brocchini³, N. Casagli⁴, R. Ciaranfi¹,

L. Cimmino^{5;6}, V. Ciulli^{2;1}, R. D'Alessandro^{2;1},

C. Del Ventisette⁴, A. Dini⁷, G. Gigli⁴,

S. Gonzi^{2;1}, S. Guideri³, L. Lombardi⁴,

B. Melon¹, N. Mori¹;², M. Nocentini⁴,

P. Noli^{5,6}, V. Pazzi⁴, G. Saracino^{5,6},

P. Strolin^{5,6}, L. Viliani¹

1 INFN Firenze

2 Univ. di Firenze, Dip. di Fisica e Astronomia

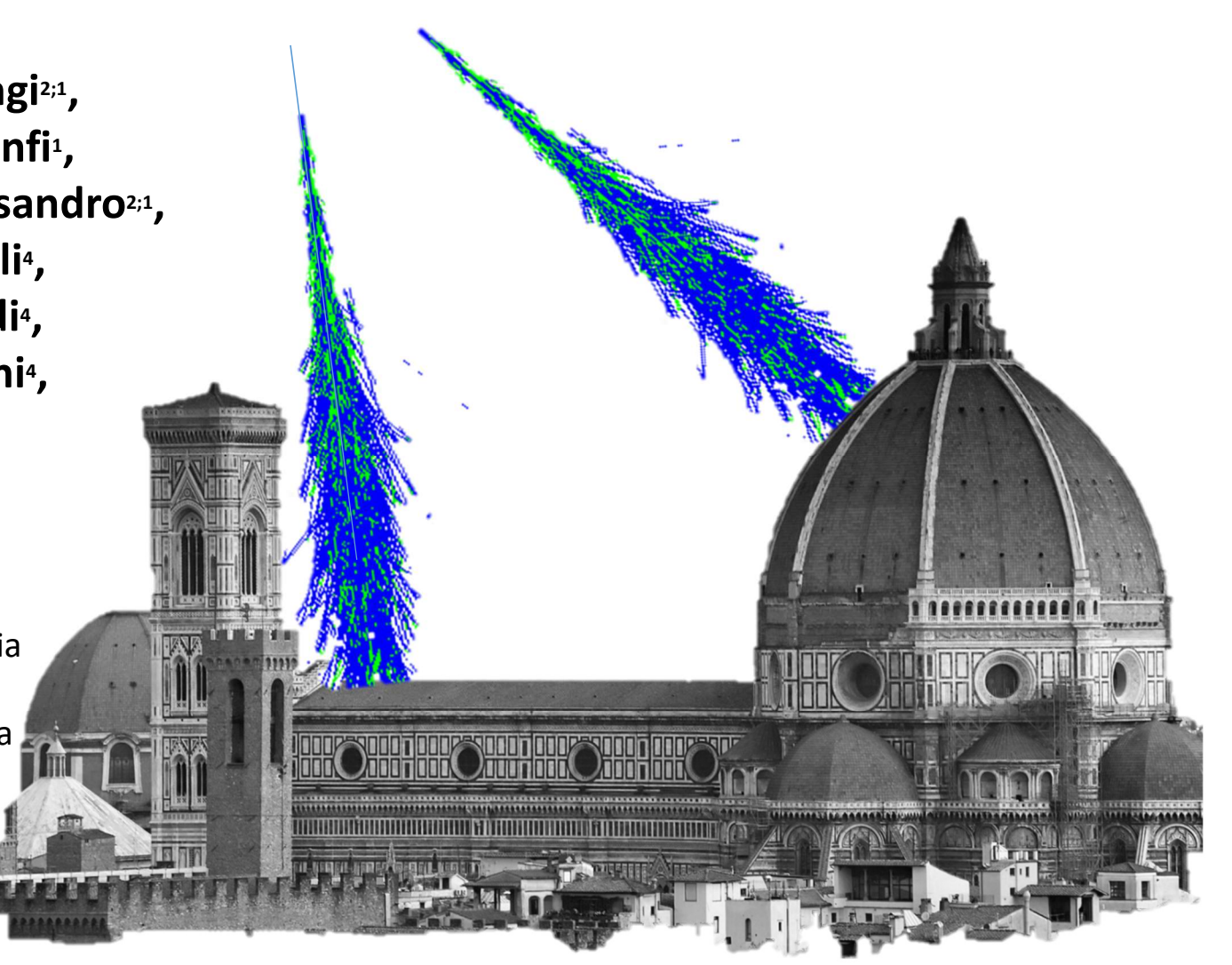
3 Parchi Val di Cornia, Livorno

4 Univ. di Firenze, Dip. Di Scienze della Terra

5 Univ. di Napoli Federico II, Dip. di Fisica

6 INFN Napoli

7 IGG-CNR, Pisa



Schema della presentazione

Introduzione

- Raggi Cosmici e sciami atmosferici
- I muoni e la tecnica di radiografia muonica

Misure storiche e attività in corso

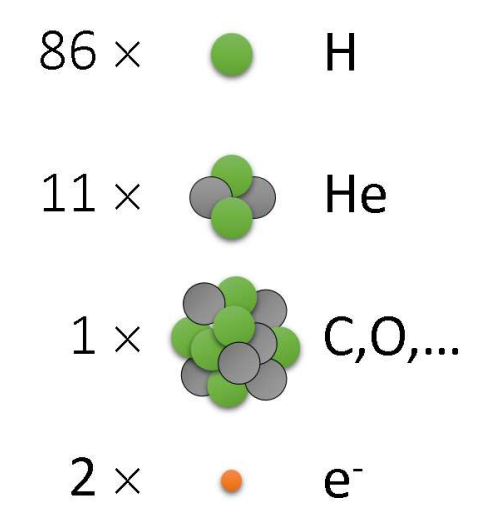
Il panorama internazionale (2 slide!)

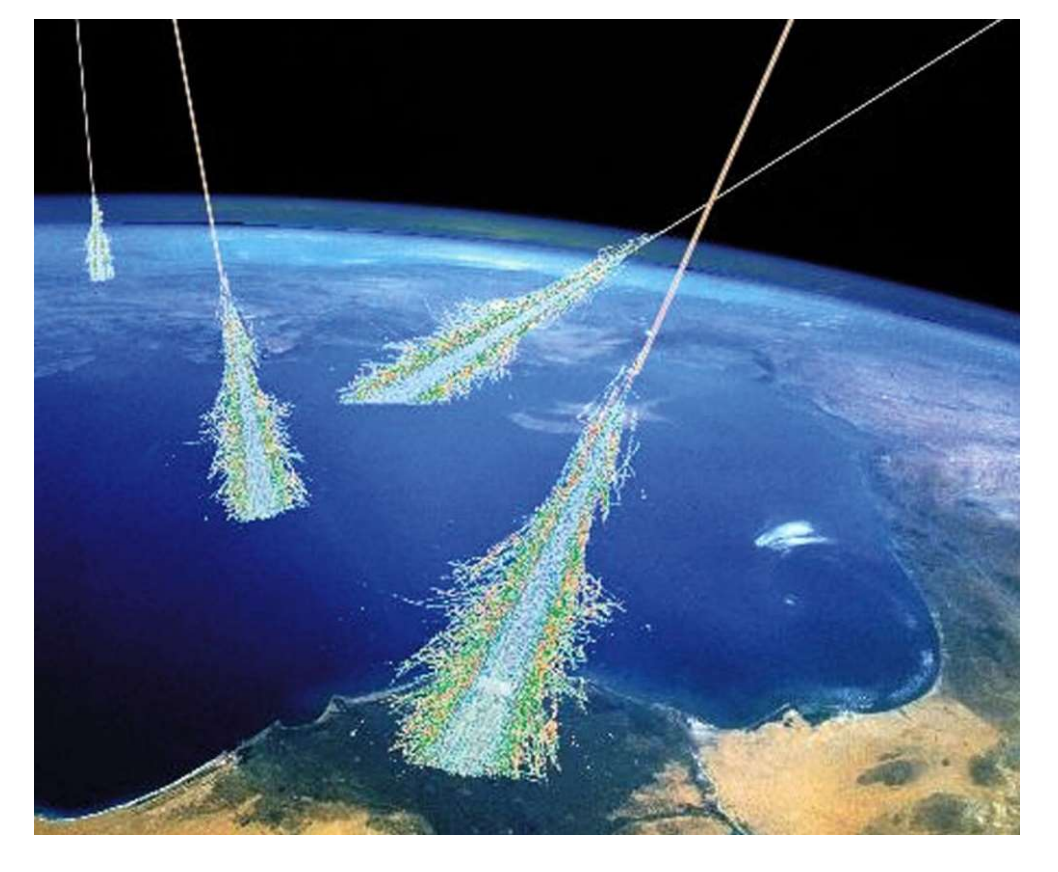
Alcuni casi di studio in Toscana

- Miniere
- Argini fluviali

Introduzione I raggi cosmici

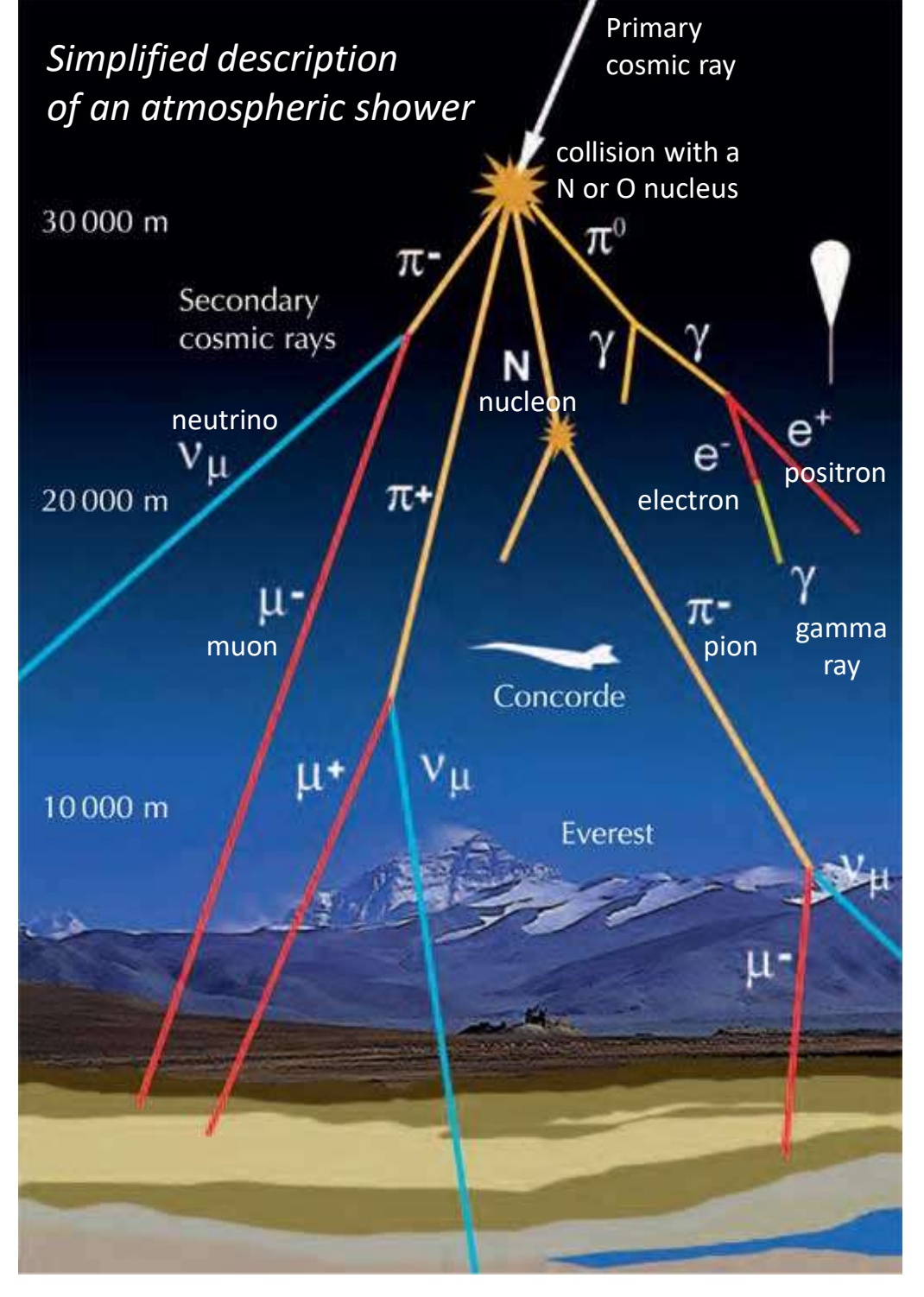
- Particelle elementari e frammenti di atomi di altissima energia e dotati di carica elettrica che viaggiano isotropamente nello spazio interstellare ed entrano nell'atmosfera terrestre con una frequenza di 1000/m²/s
- Provengono in gran parte dalla nostra galassia
- I raggi cosmici interagiscono con i nuclei degli atomi presenti negli strati alti dell'atmosfera, producendo i cosiddetti <u>sciami atmosferici</u>, cascade di centinaia o migliaia di particelle elementari secondarie e frammenti di nuclei atomici





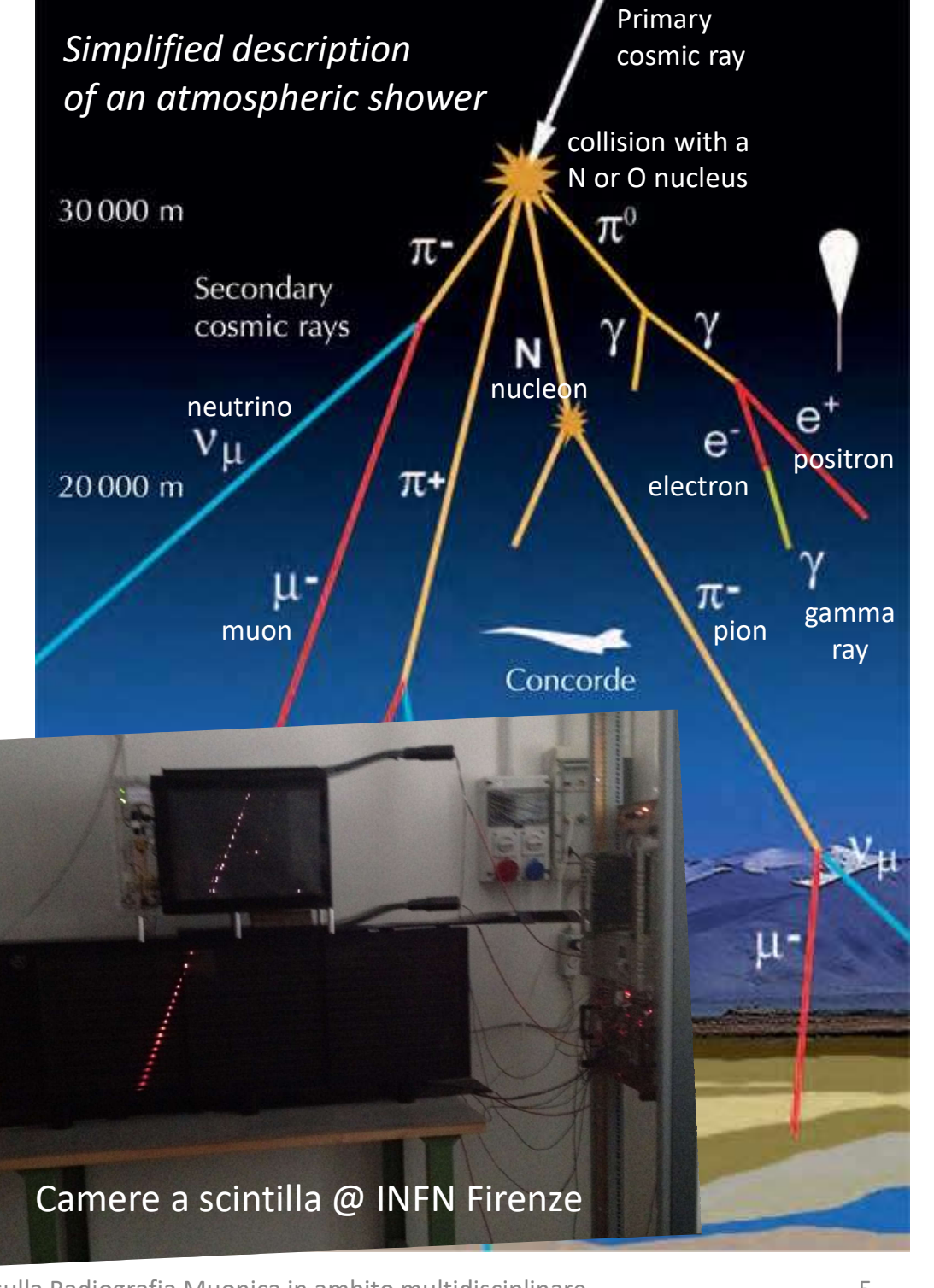
Introduzione Sciami atmosferici e muoni

- I **muoni** (μ^{\pm}) vengono prodotti nei decadimenti di pioni (π^{\pm}) and kaoni (\mathbf{K}^{\pm}) , particelle instabili presenti nei prodotti secondari degli sciami
- Il flusso di muoni al livello del suolo è di circa (100÷200) particelle/m²/s alle nostre latitudini (circa 3 volte maggiore ai poli → contributo solare a basse energie → aurore polari)
- *I muoni sono particelle molto penetranti,* simili agli elettroni, ma 200 volte più pesanti.
- A seconda della loro energia, possono attraversare fino a centinaia di metri di roccia.



Introduzione Sciami atmosferici e muoni

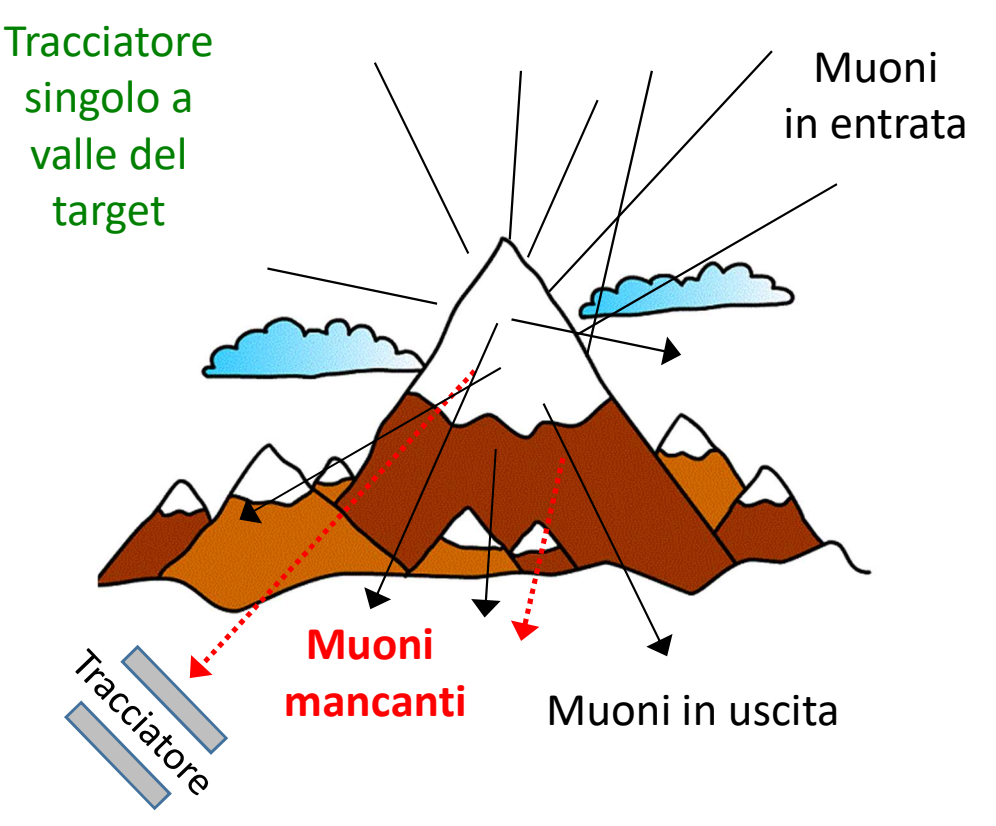
- I **muoni** (μ^{\pm}) vengono prodotti nei decadimenti di pioni (π^{\pm}) and kaoni (\mathbf{K}^{\pm}) , particelle instabili presenti nei prodotti secondari degli sciami
- Il flusso di muoni al livello del suolo è di circa (100÷200) particelle/m²/s alle nostre latitudini (circa 3 volte maggiore ai poli → contributo solare a basse energie → aurore polari)
- I muoni sono particelle molto penetranti, simili agli elettroni, ma 200 volte più pesanti.
- A seconda della loro energia, possono attraversare fino a centinaia di metri di roccia.



Introduzione

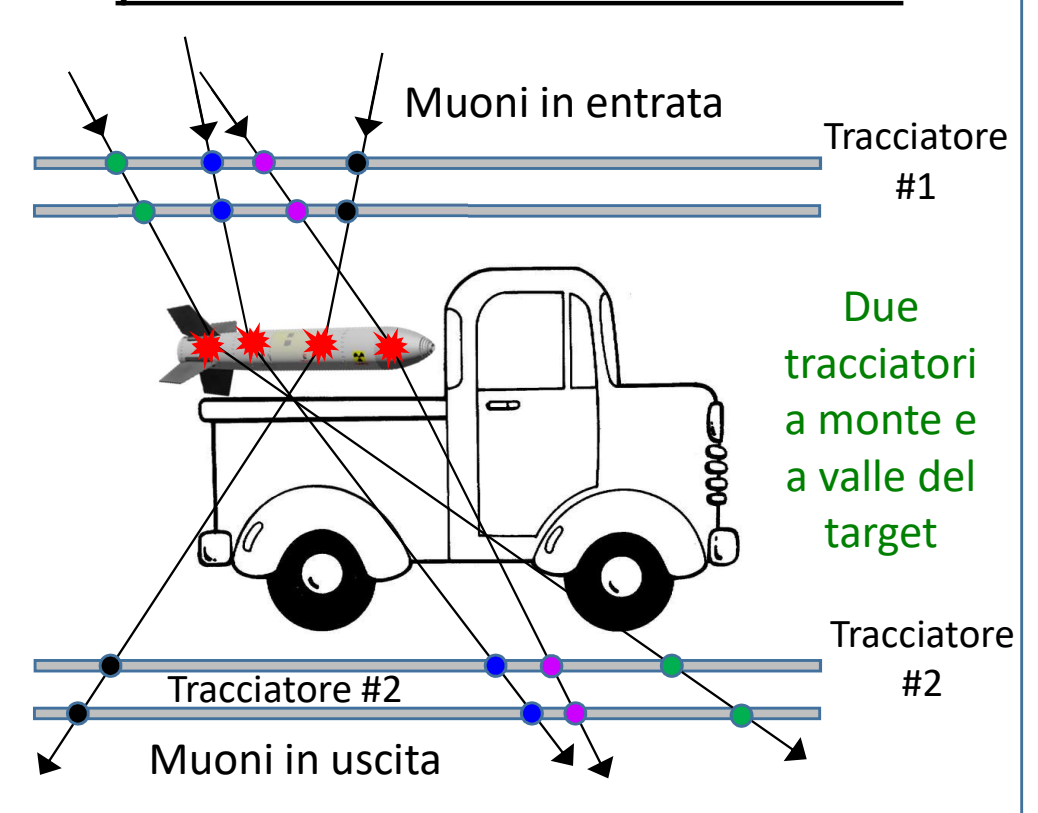
L'imaging con muoni

Radiografia muonica per assorbimento (o trasmissione)



Si basa sulla <u>perdita di energia</u> e sull'<u>assorbimento</u> <u>dei μ nei materiali</u>. Appropriata per l'imaging di <u>grandi volumi</u>.

Tomografia muonica per diffusione coulombiana

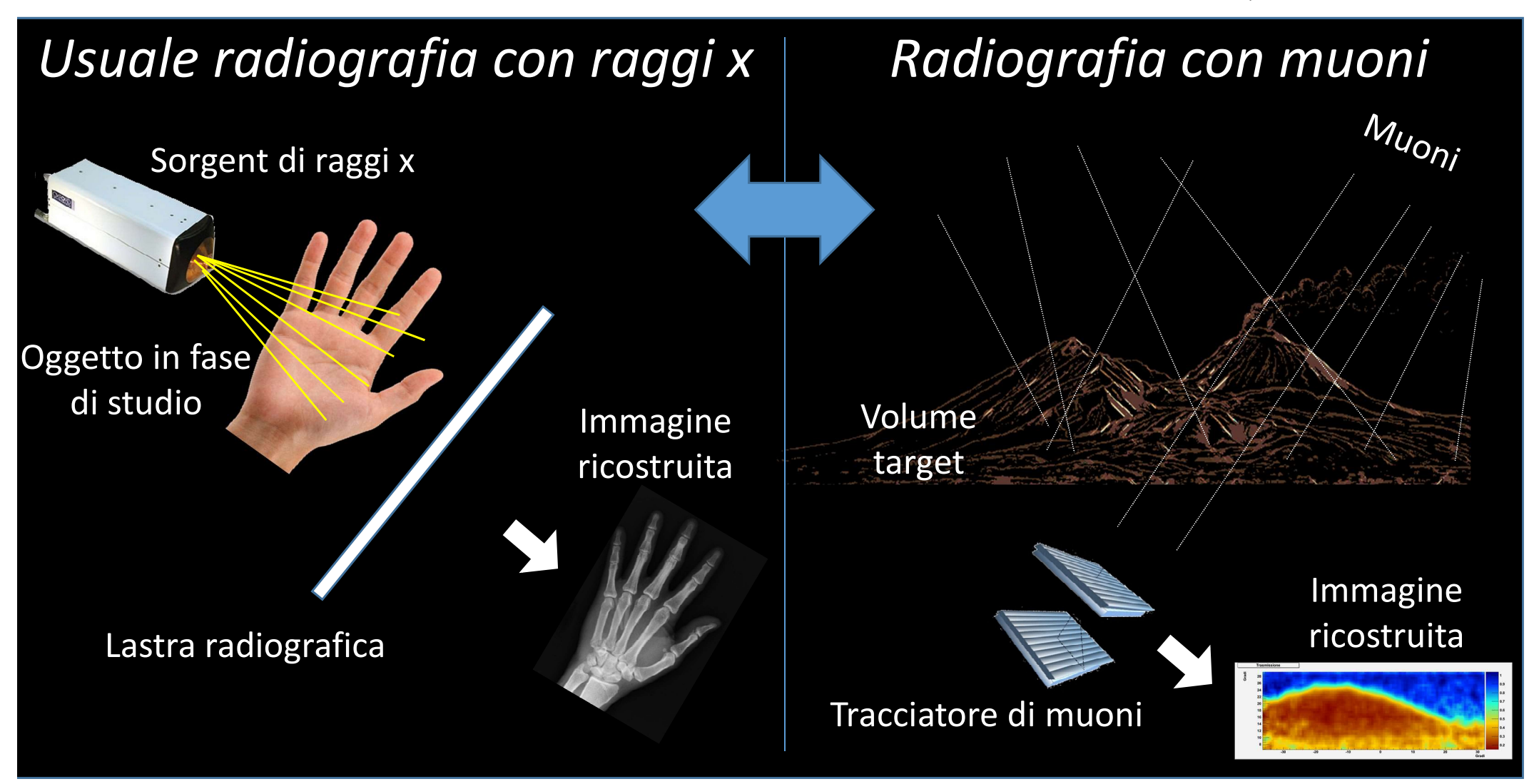


SI basa sulla <u>deflessione delle traiettorie dei µ nei</u> <u>materiali ad alto Z</u>. Appropriata per imaging di <u>volumi medio-piccoli</u>.

Introduzione

Radiografia muonica per assorbimento/trasmissione

Si basa sulla perdita di energia e sull'assorbimento dei μ nei materiali.



Introduzione *Metodologia*



FASE DI MISURA

- Sopralluogo per definire il punto di misura e la direzione di misura $(m{ heta},m{\phi})$
- <u>Installazione</u> del rivelatore e test
- Misura I: durata Δt_T ; di fronte al target (T=target) $\rightarrow N_T(\theta, \varphi)$
- Misura II: durata Δt_{FS} , a cielo libero (FS=free sky) $ightarrow N_{FS}(heta, oldsymbol{arphi})$
- Ricostruzione della Trasmissione dei muoni

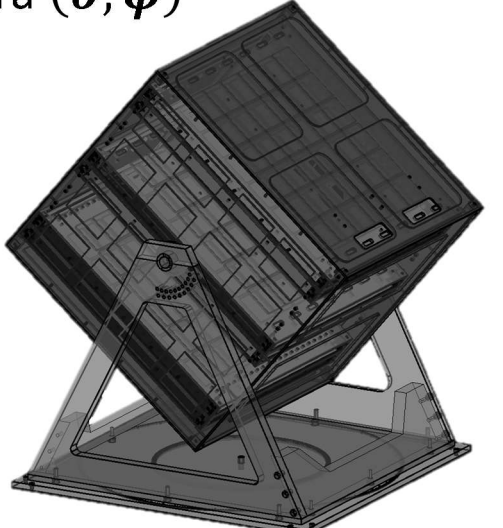
$$T_{\mu}(\theta, \varphi) = \frac{\varepsilon_{FS}}{\varepsilon_{T}} \frac{\Delta t_{FS}}{\Delta t_{T}} \frac{N_{T}(\theta, \varphi)}{N_{FS}(\theta, \varphi)}$$

SIMULAZIONI e CONFRONTO

- Modelli digitali del terreno
- Generatore di muoni
- Integrazione delle mappe e del generatore di muoni nei SW di simulazione
- Confronto con simulazione a densità uniforme

 identificazione anomalie
- Confronto con simulazioni varie densità

 ricostruzione mappa densità



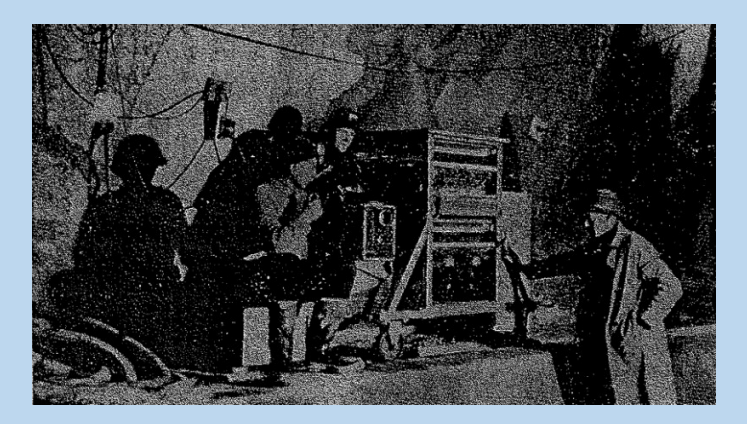
Misure storiche

Le origini – prime applicazioni con i muoni

La prima applicazione con i μ :

nel 1955 da **E.P. George** per valutare lo strato di roccia sopra un tunnel sotterraneo

• E.P. George Commonwealth Engineer (1955) 455

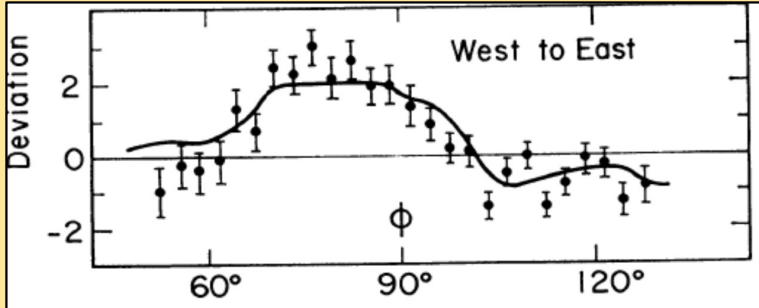


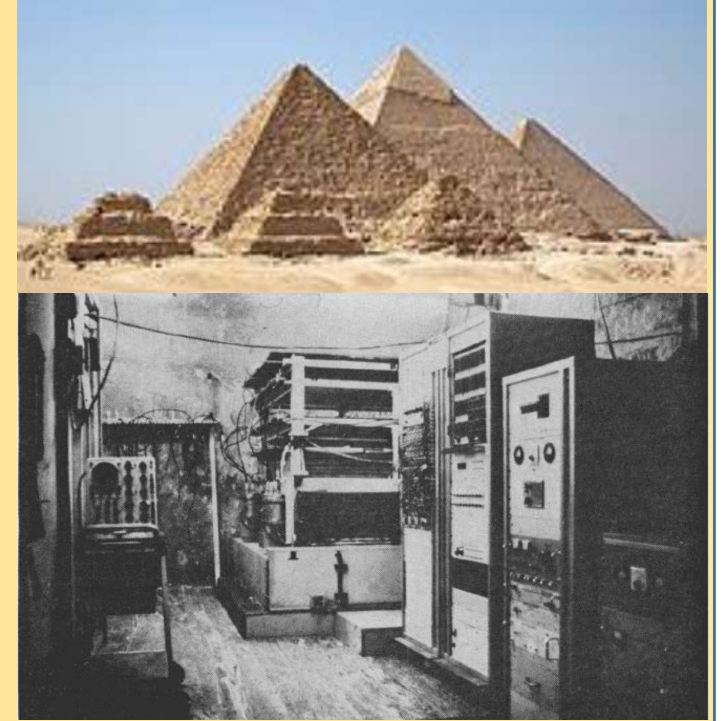
Stima con muoni: (16.3 ± 0.8) kg/cm² Misura con carotaggio: (17.5 ± 0.6) kg/cm² In accordo!

La prima radiografia con i µ: applicazione ad opera del premio Nobel L.W. Alvarez per cercare stanze nascoste nella piramide di Chefren

 L.W. Alvarez et al. Science 167 (1970) 832





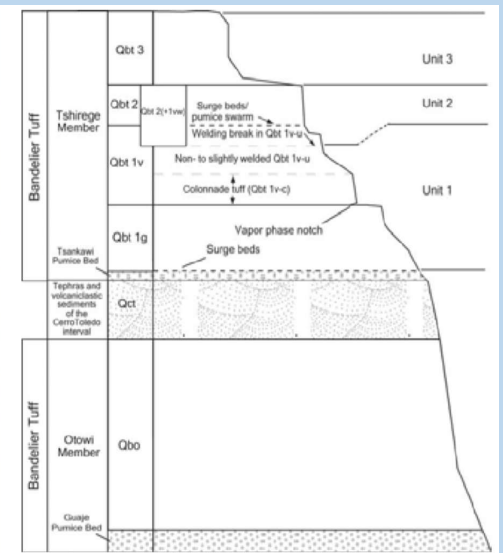


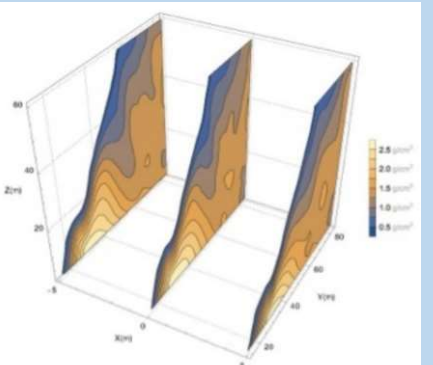
Attività recenti o in corso

Applicazioni in ambito internazionale

Misure a Los Alamos (LANL)









Pure Appl. Geophys. **174** (2017) 2133–2141

Le piramidi americane

La Milpa nel Belize Univ. Texas

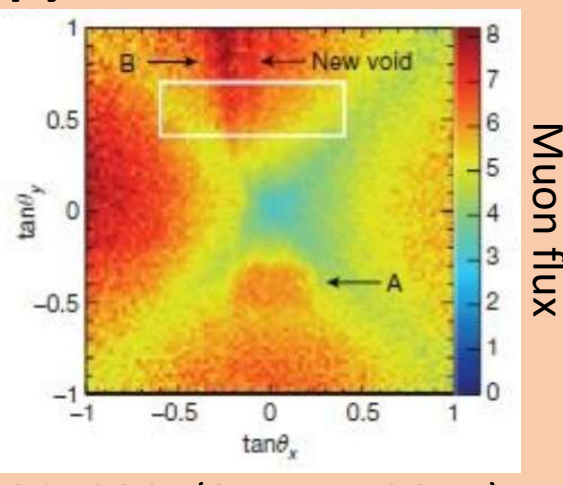


Teotihuacan in Mexico
Univ. Mexico



Progetto **Scan-pyramids**





Nature vol. 552, pages 386–390, (21 Dec. 2017)

Attività recenti o in corso

Applicazioni in ambito internazionale

Kullapha Chaiwongkhot et al.

IEEE TRANSACTIONS ON NUCLEAR SCIENCE, VOL. 65, NO. 8, AUGUST 2018

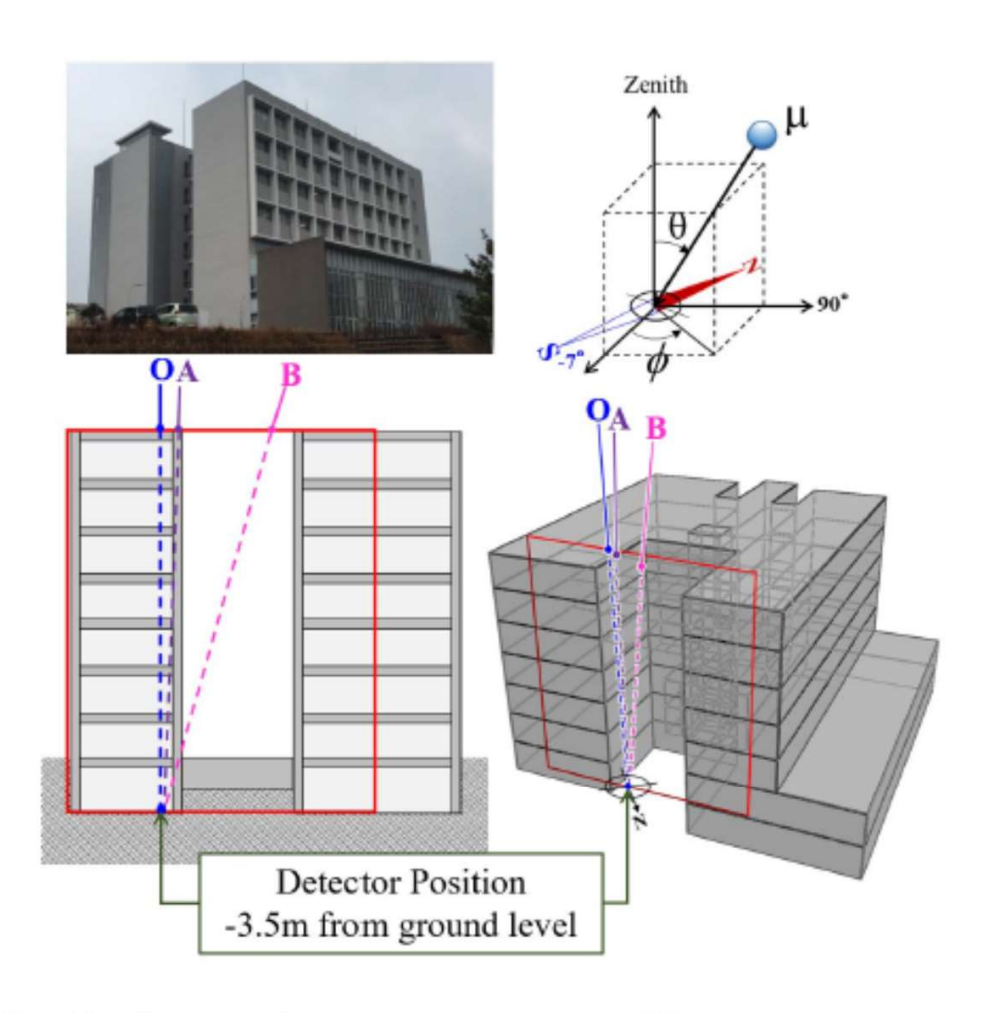


Fig. 10. Drawing of the seven-story concrete building.

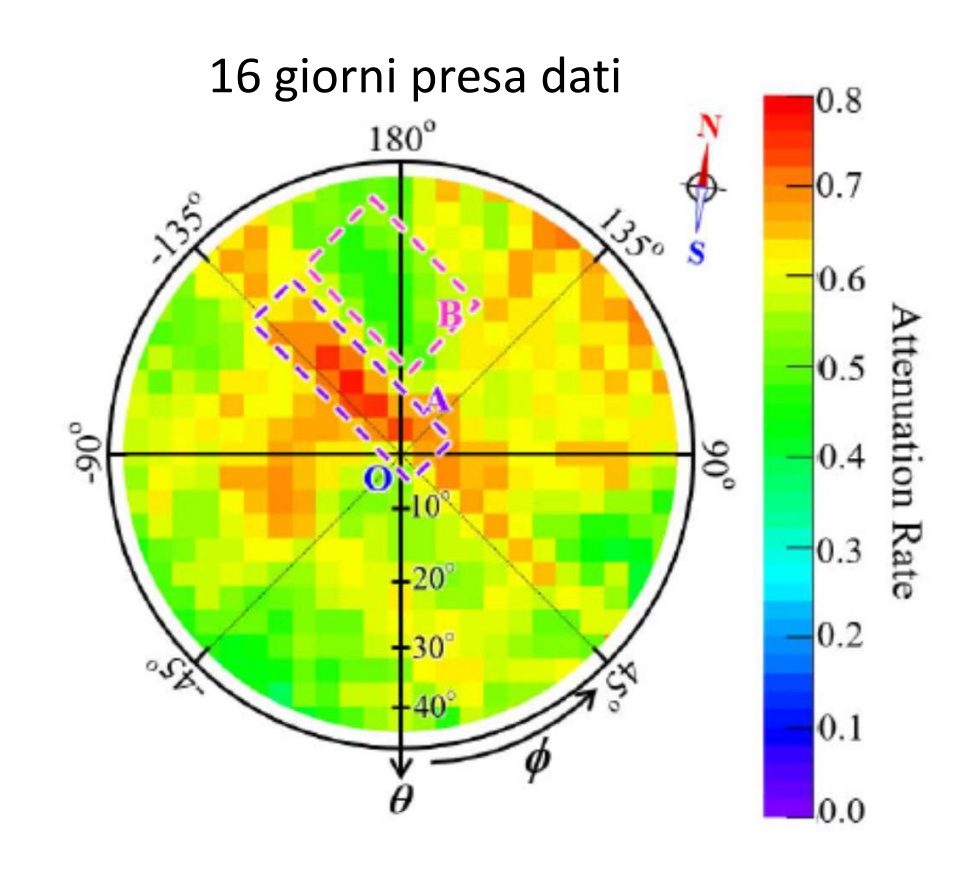


Fig. 12. Muon attenuation rate measured as a function of the incident muon direction defined by zenith and azimuth angles $D(v_{i,j})$. The shadow shows the building core structure. The detector position at 0° zenith angle is labeled with "O" at the center of the plot. Areas A and B are examples of the largest and smallest thicknesses of the concrete structure, respectively.

Attività recenti o in corso

Radiografia muonica di strutture vulcaniche



Misure di radiografia muonica in Toscana

Collaborazione tra INFN, Dipartimenti di Fisica UNIFI e UNINA e Dipartimento di Scienze della Terra UNIFI

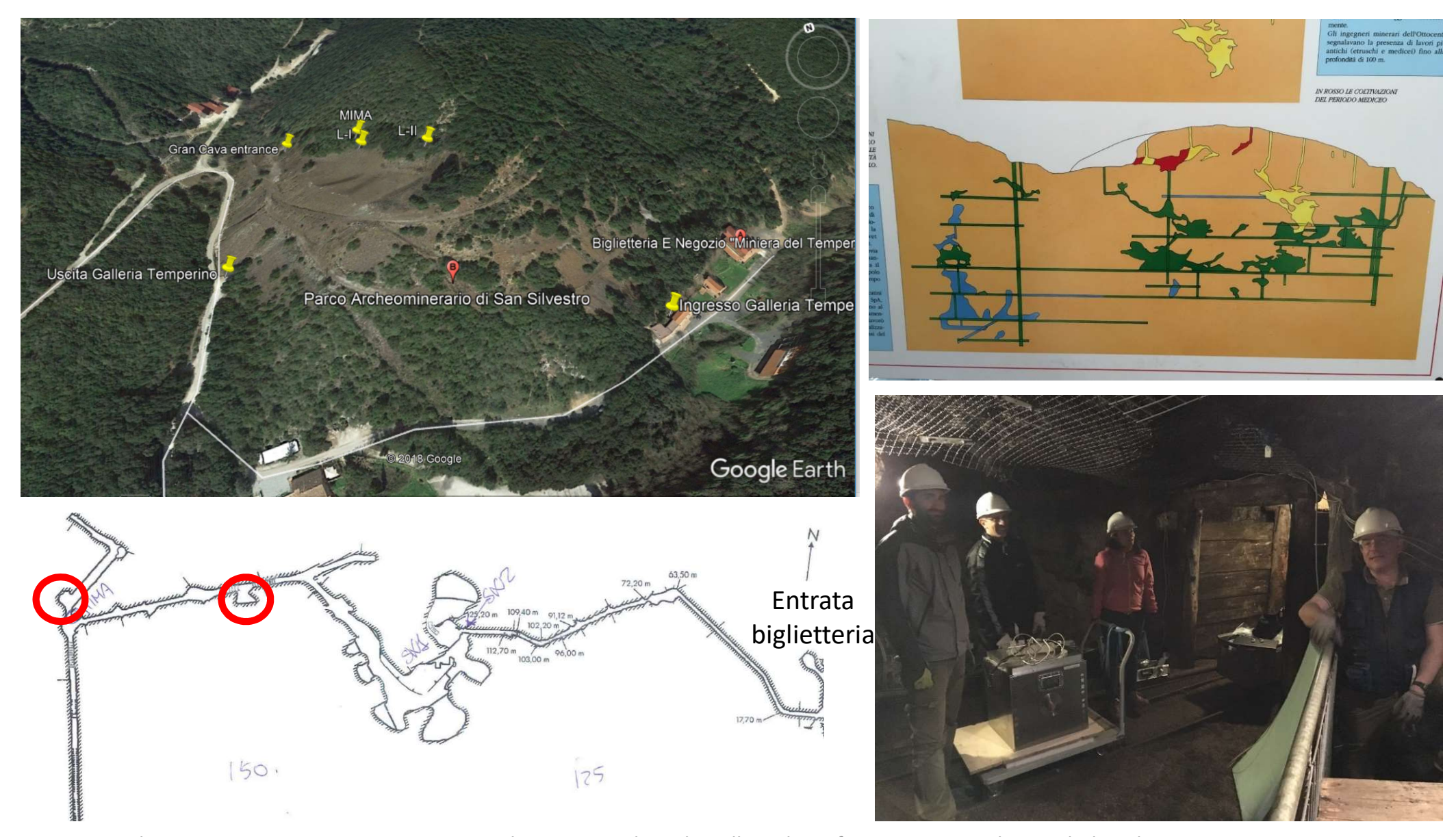
- Miniera del Temperino all'interno del Parco Archeominerario di San Silvestro in località Campiglia Marittima (LI)
 - Fine 2017 metà 2018
- Argine del fiume Arno in località Mantignano (FI)
 - Seconda metà 2017
- Argine del torrente Bure in località Pontenuovo (PT)
 - Seconda metà 2018

Vedere anche:
D. Brocchini
sessione archeologia
29 ottobre ore 14:00

Vedere anche:
V. Pazzi
sessione ingegneria
30 ottobre ore 9:30

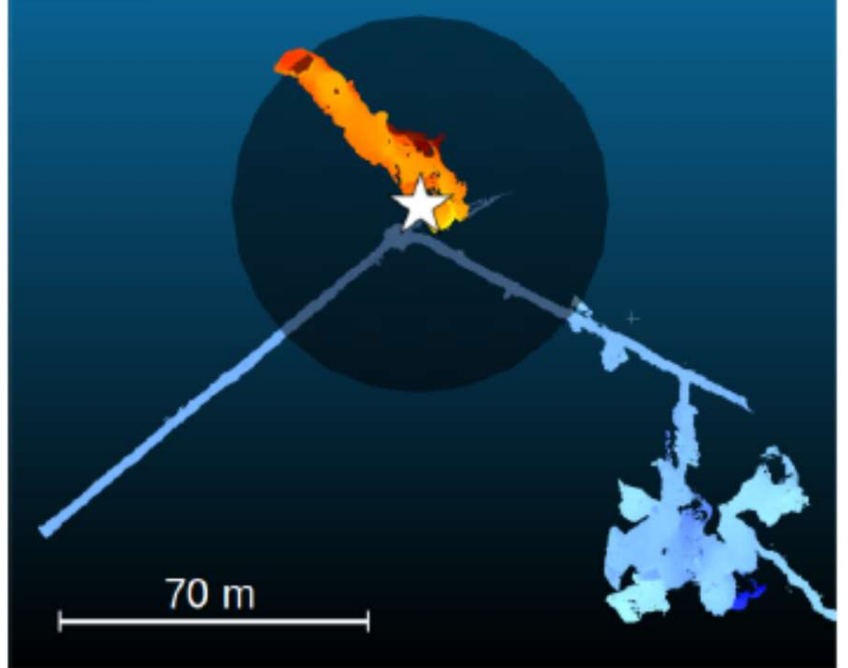
Misura alla miniera del Temperino (Li)

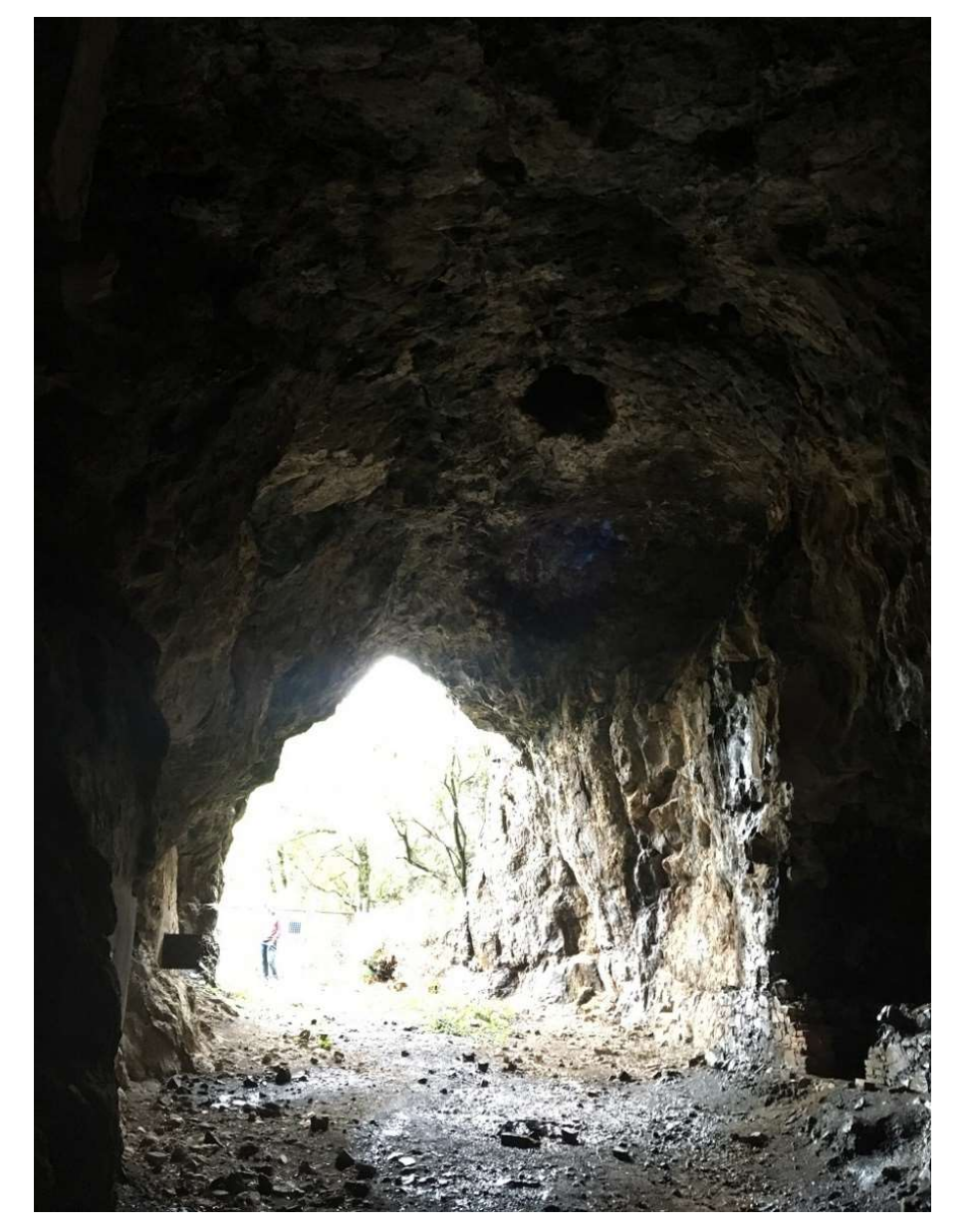
identificazione di cavità note e misura del profilo 2D di densità



identificazione di cavità note e misura del profilo 2D di densità

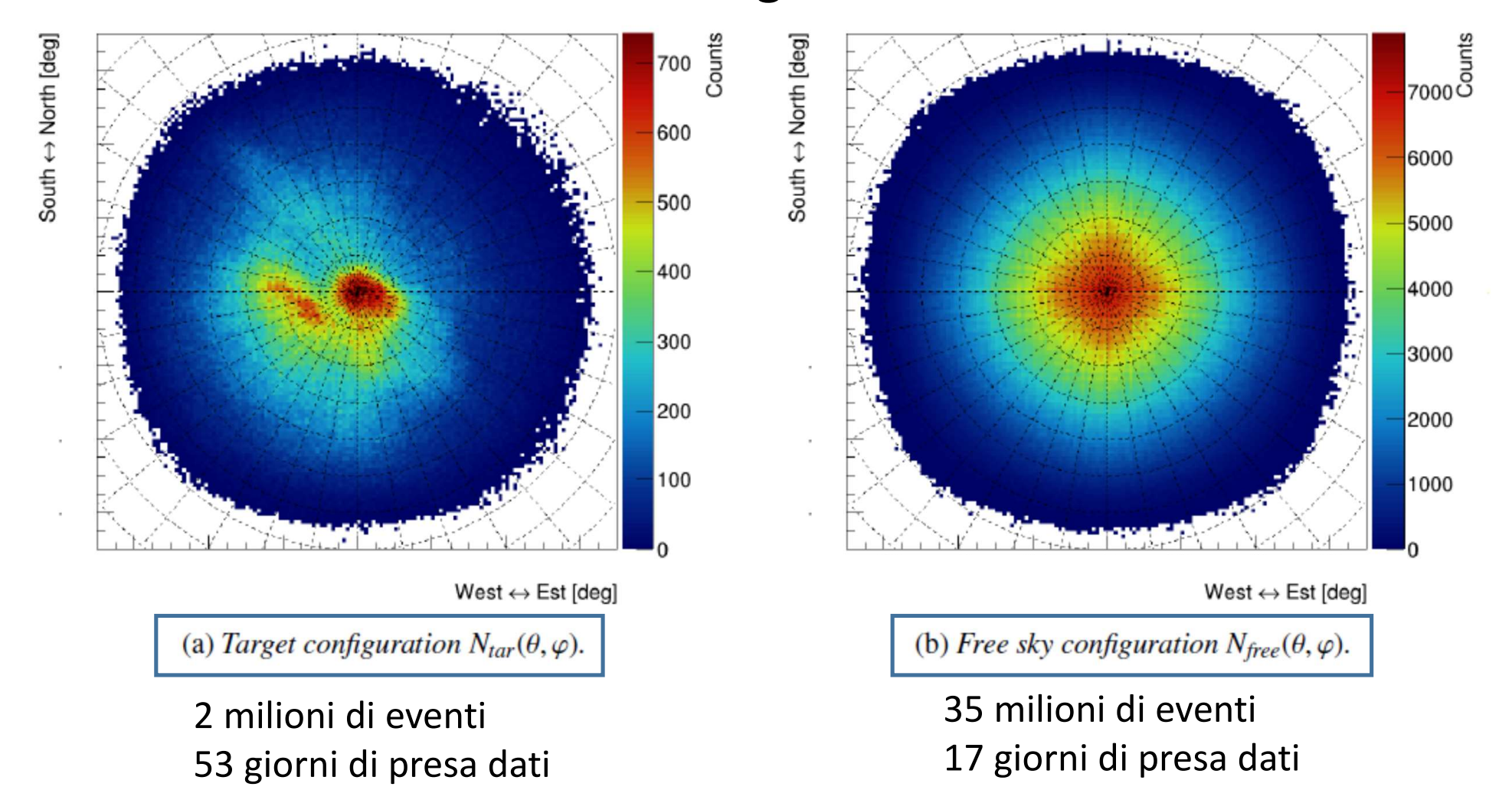






Primi risultati (G. Baccani et al., proceedings di ICNFP 2018, Creta – in fase di pubblicazione su EPJ Web of Conference)

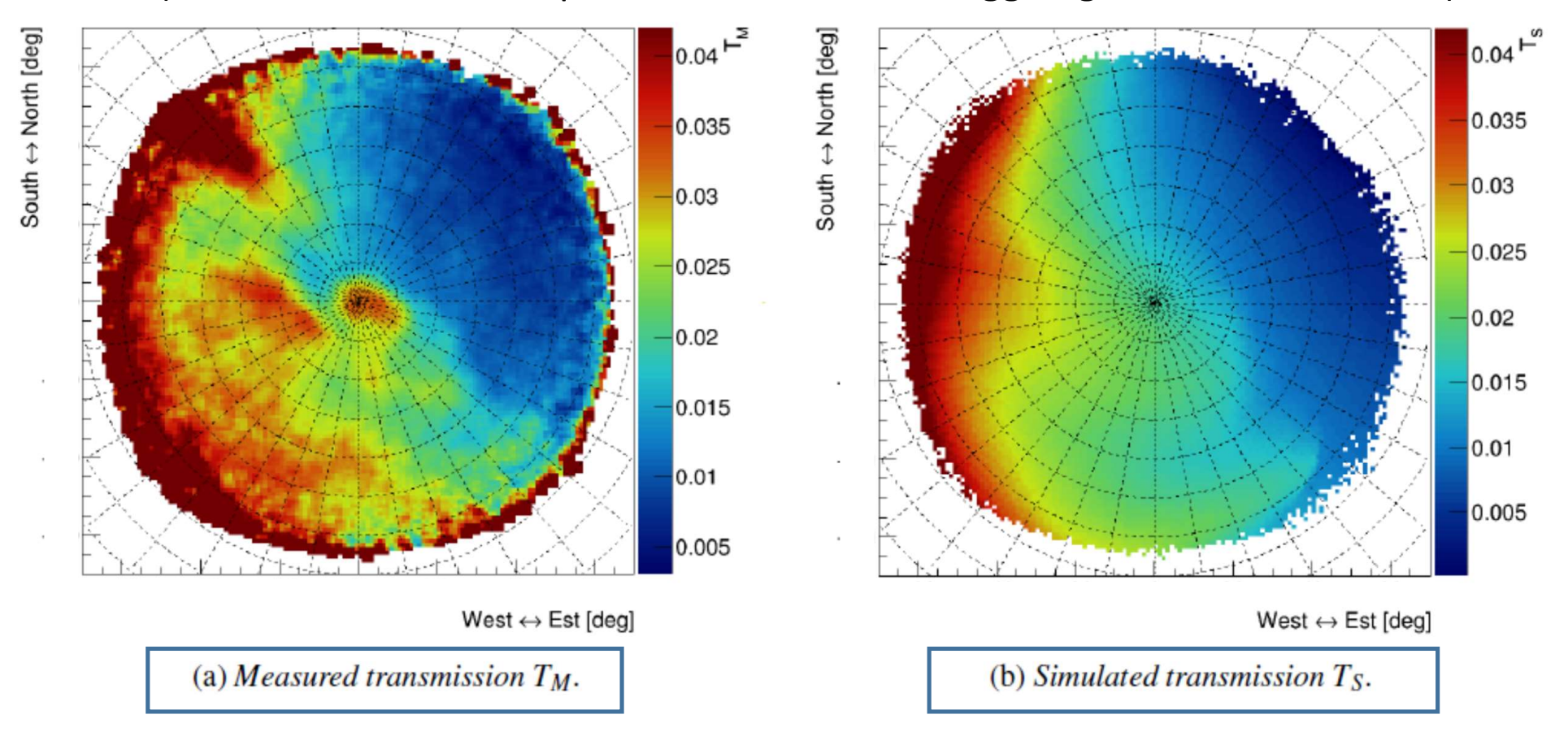
Distribuzione angolare dei muoni



Primi risultati (G. Baccani et al., proceedings di ICNFP 2018, Creta – in fase di pubblicazione su EPJ Web of Conference)

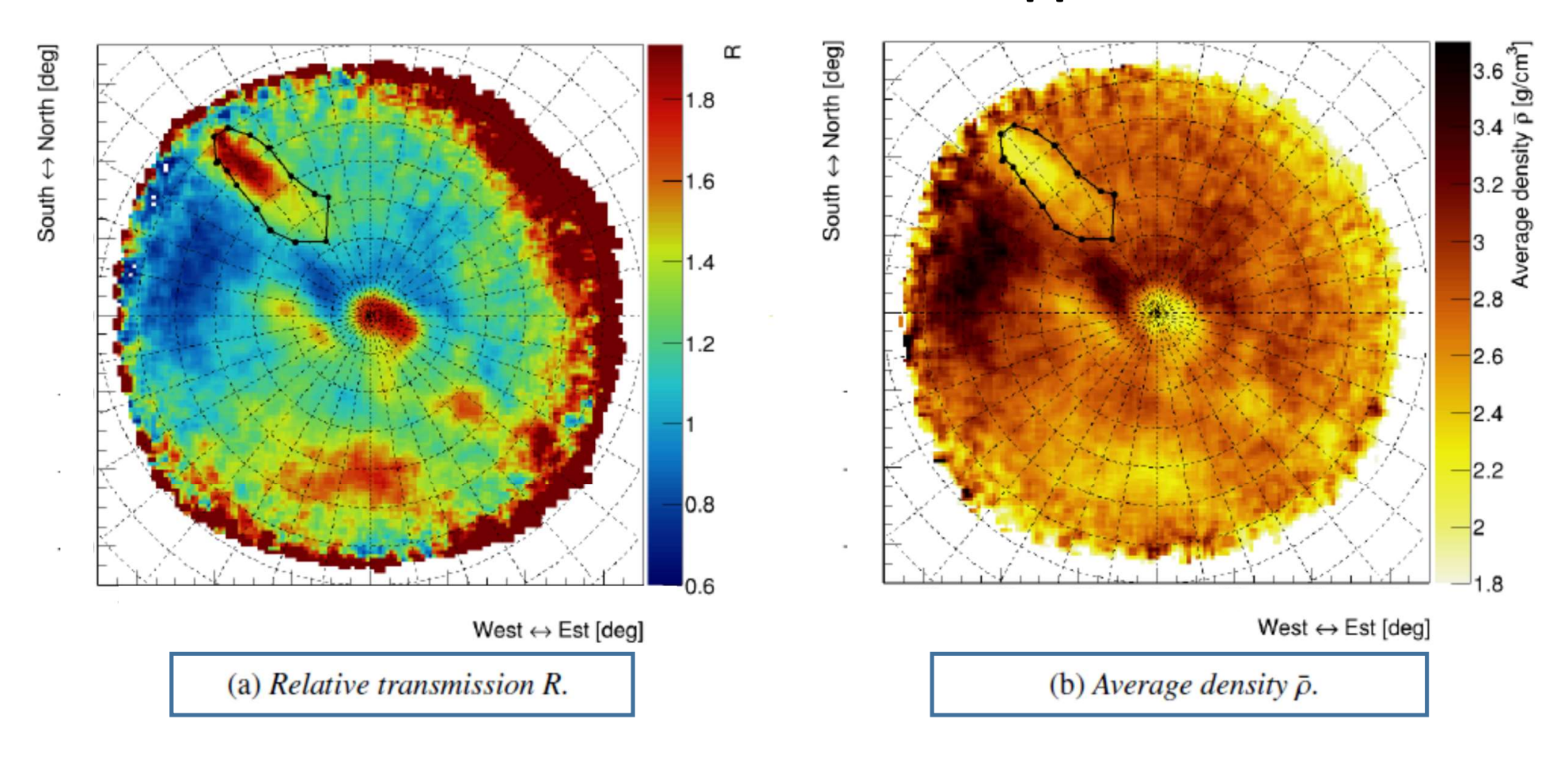
Trasmissione

(frazione di muoni che penetra nella roccia e raggiunge il rivelatore MIMA)



Primi risultati (G. Baccani et al., proceedings di ICNFP 2018, Creta – in fase di pubblicazione su EPJ Web of Conference)

Confronto con simulazione e mappa di densità



Test di radiografia muonica di argini fluviali

- Studio dello stato di conservazione di argini
 - Identificazione di cavità, tane di animali o eventuali strutture ad alta densità
- Confronto con altre metodologie d'indagine
 - Collaborazione fisici/geologi per confronto tra radiografia muonica e metodo geoelettrico



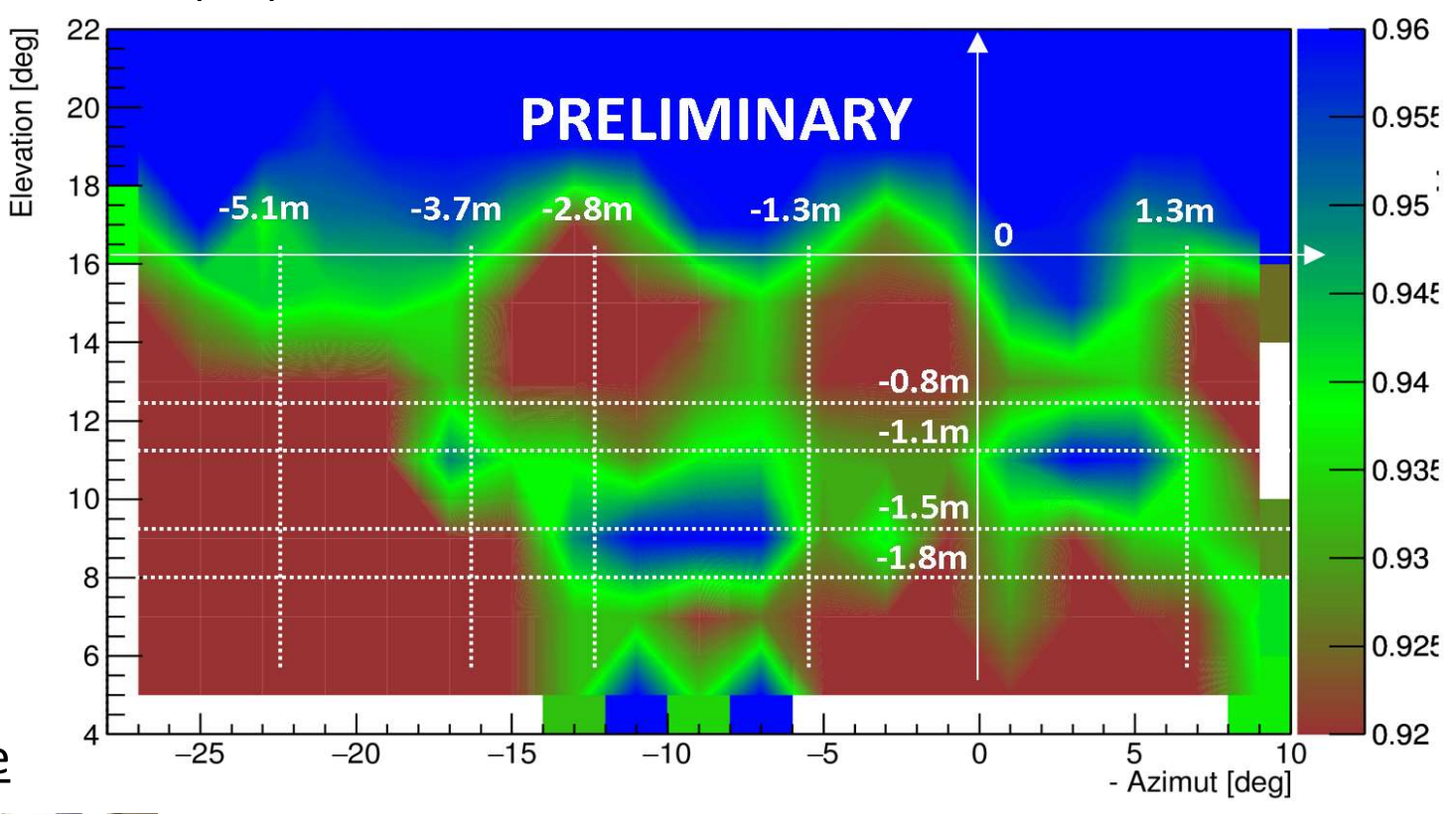
Test di radiografia muonica di argini fluviali

Primi risultati: Arno (FI)

<u>Durata della presa dati</u>: 7 gg target + 7 gg cielo libero (circa)

Argine demolito subito dopo la misura: impossibilità di verifica dei risultati

Misura utile per l'<u>ottimizzazione delle</u> operazioni di installazione





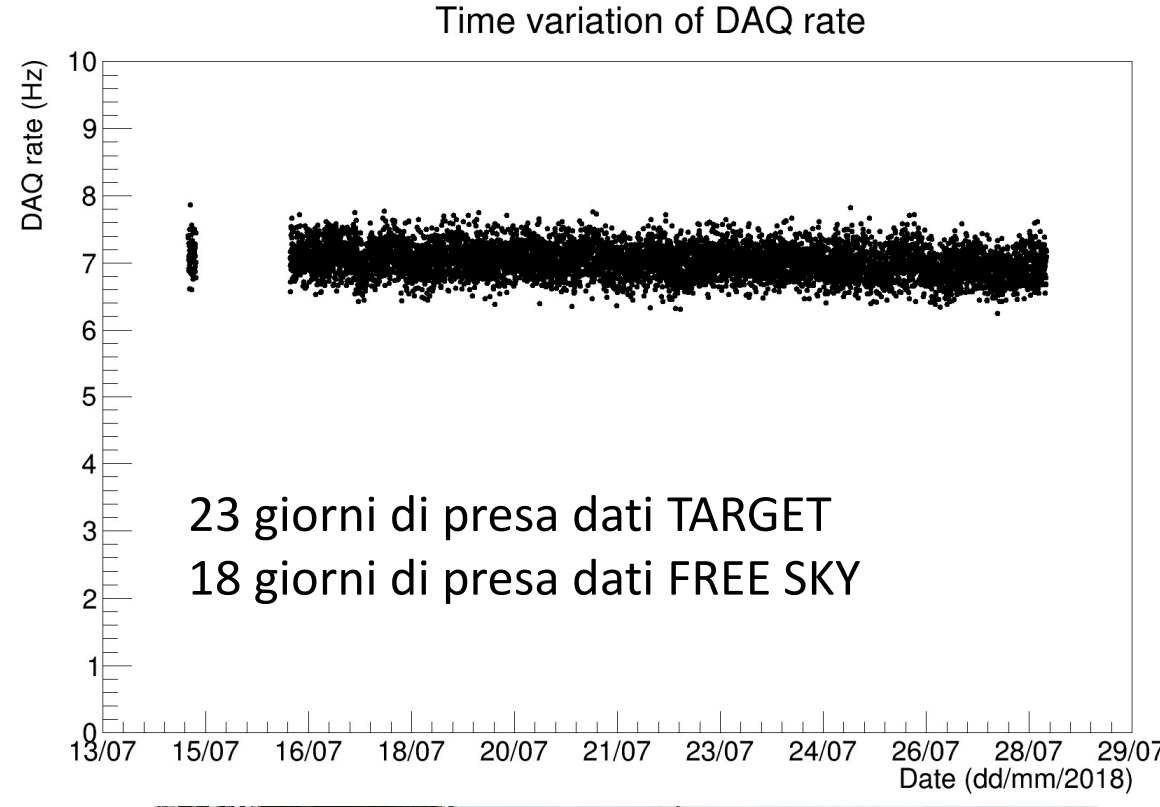


Test di radiografia muonica di argini fluviali

Primi risultati: Bure (PT)

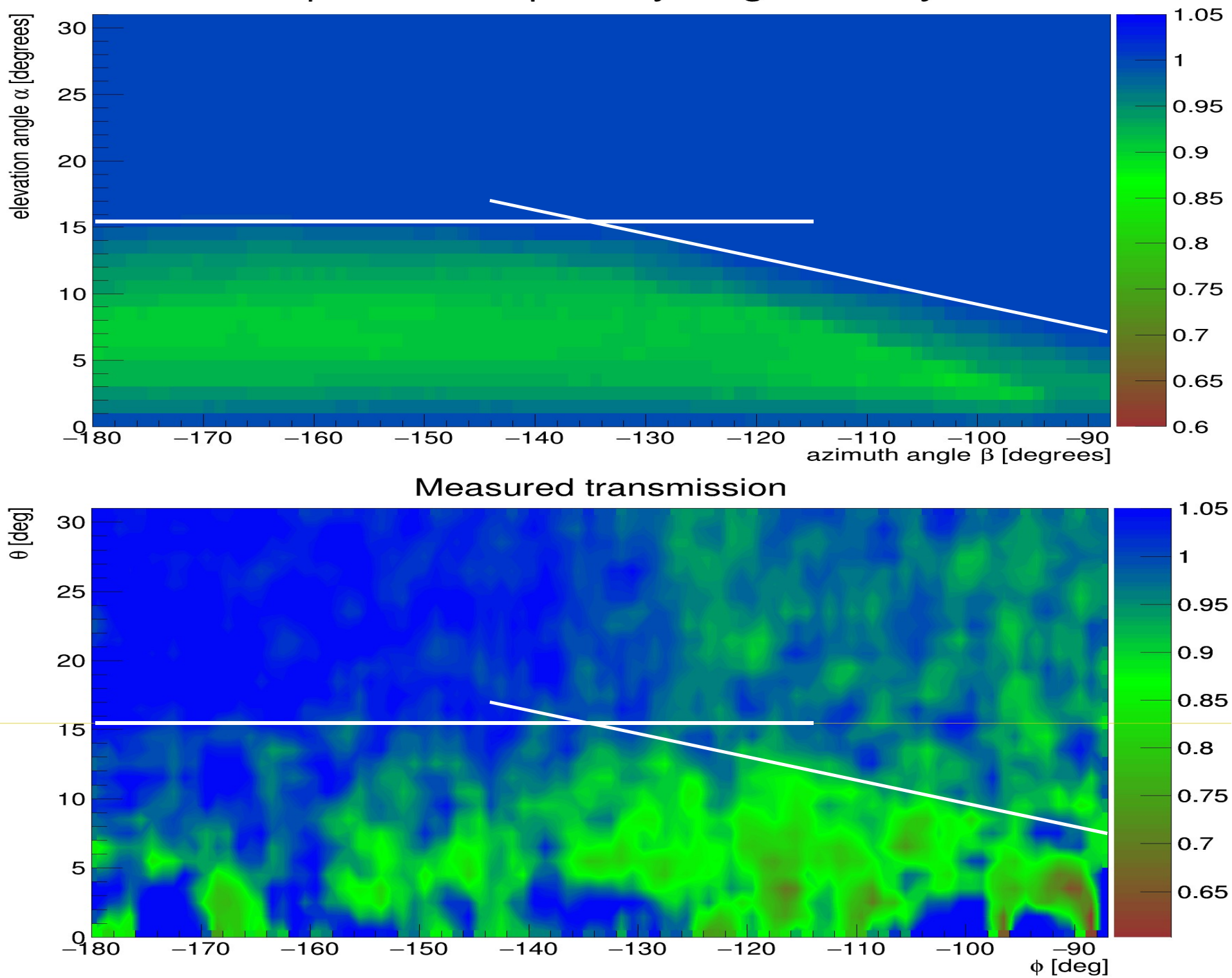




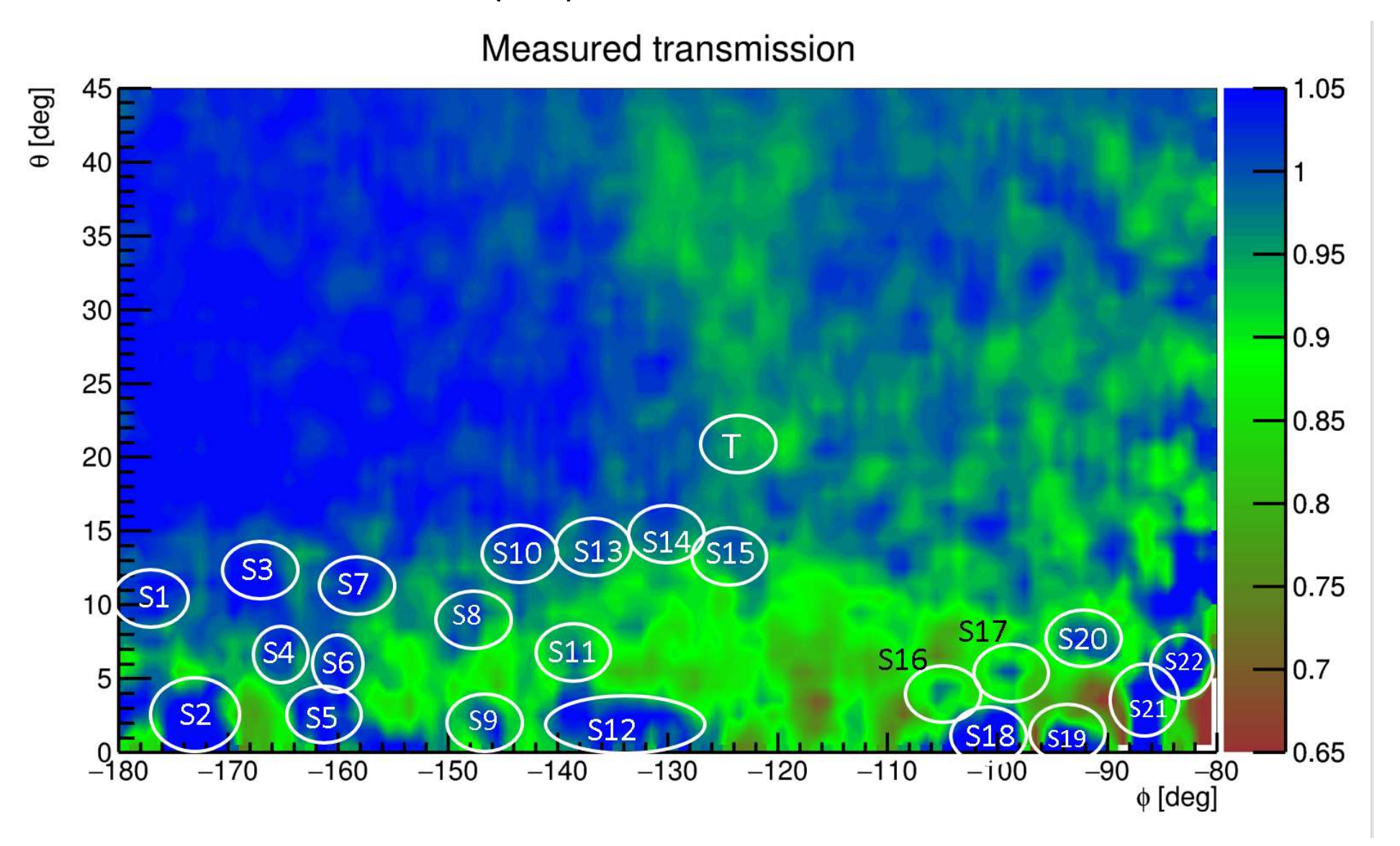




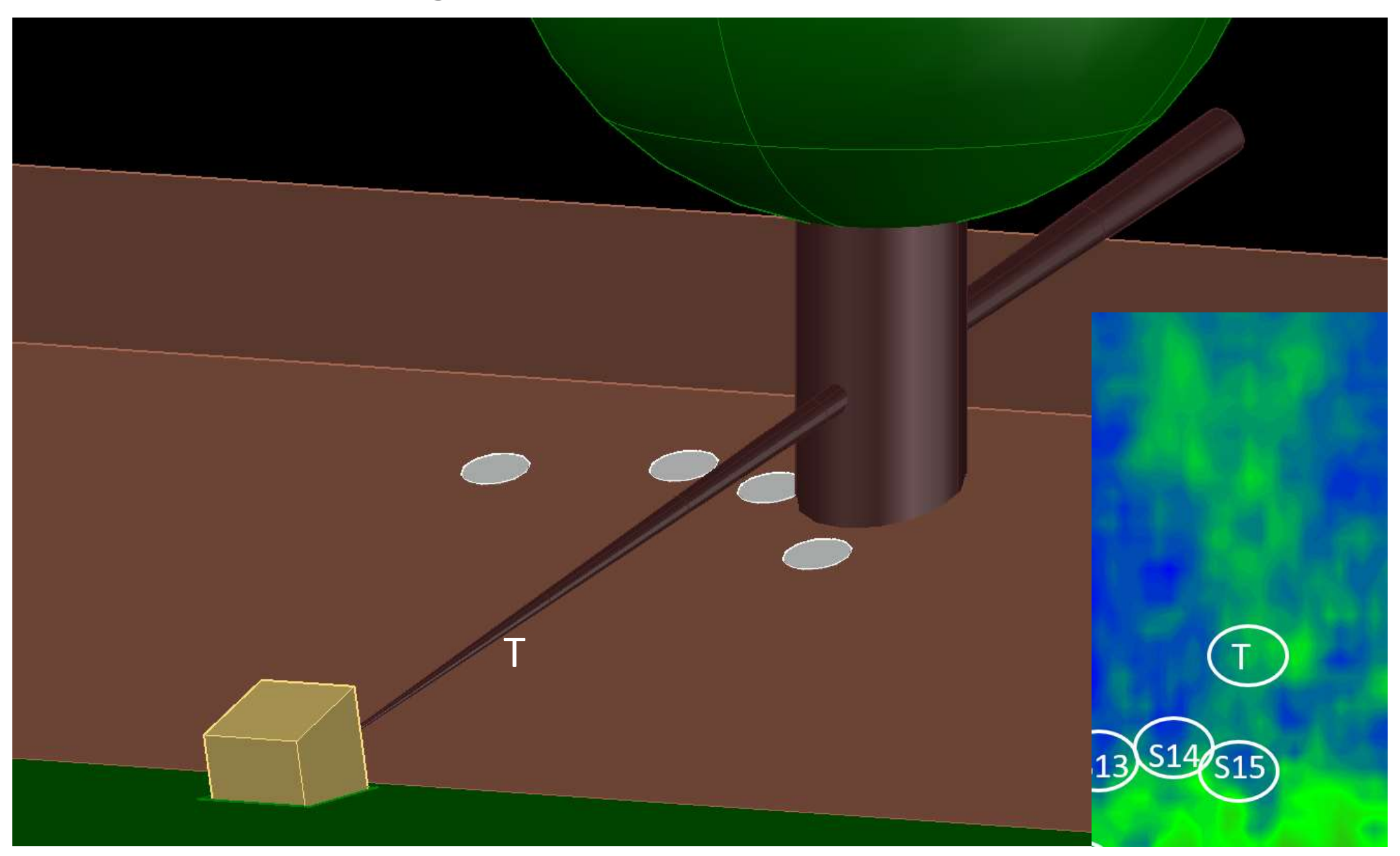
expected transparency: target/freesky



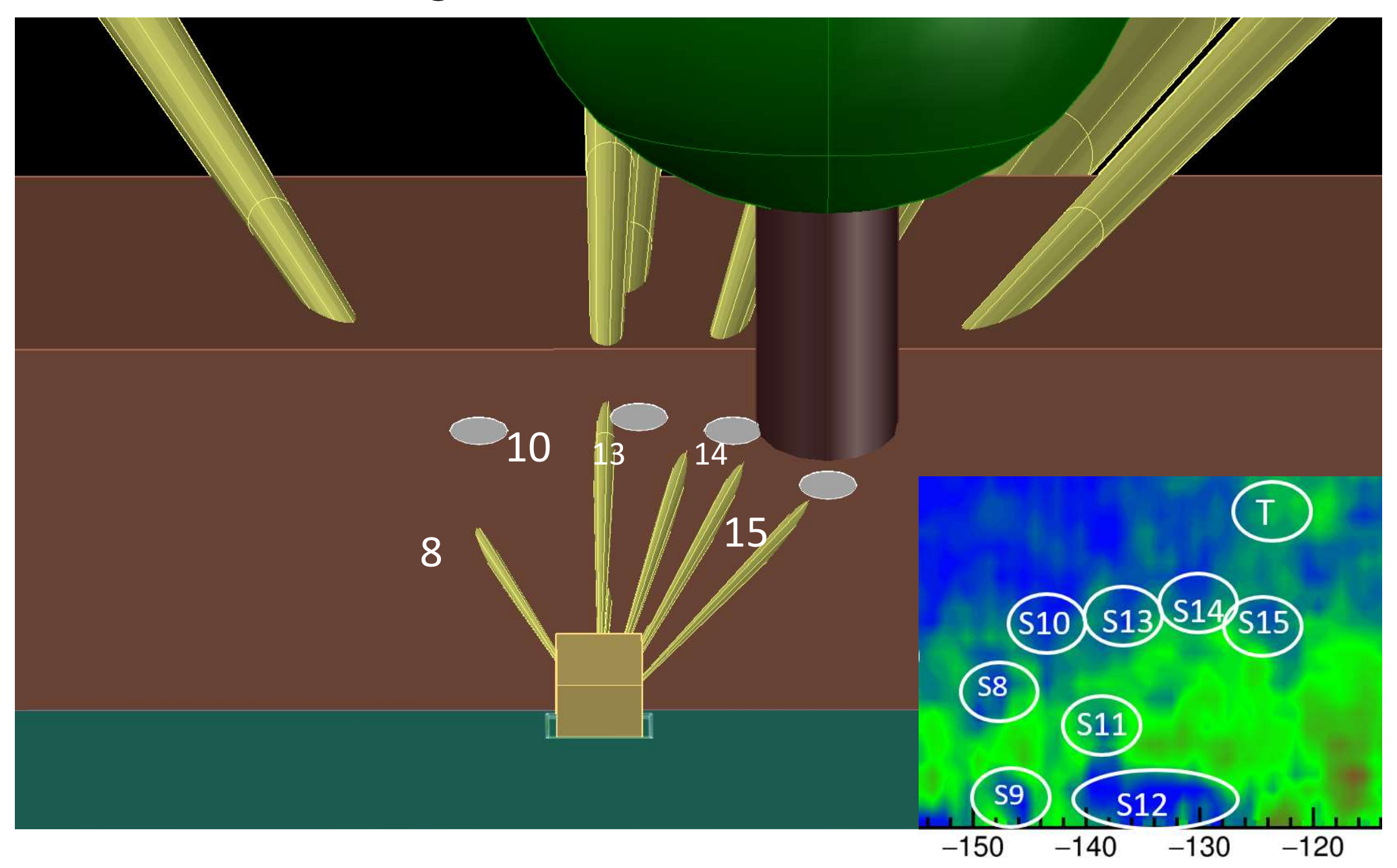
Test di radiografia muonica di argini fluviali Primi risultati: Bure (PT)



Signal T from the TREE direction



Signals from the TREE direction

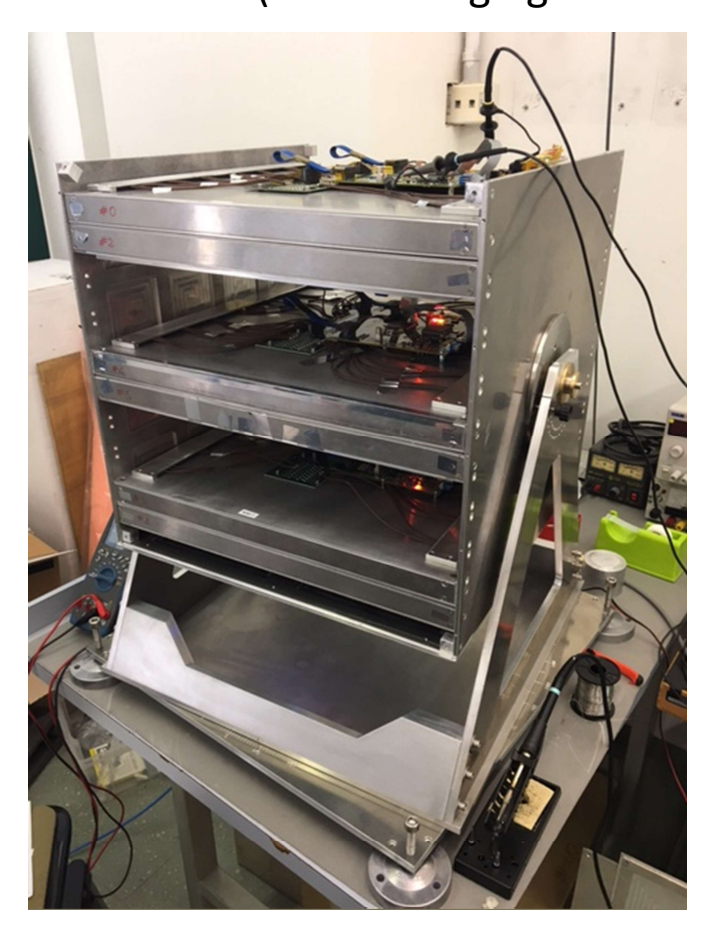


Backup slides

Development of hodoscope dedicated to muon absorption radiography

Purpose: rugged, light and low power detector to be installed in inhospitable environment (mines, archaeological sites etc.)

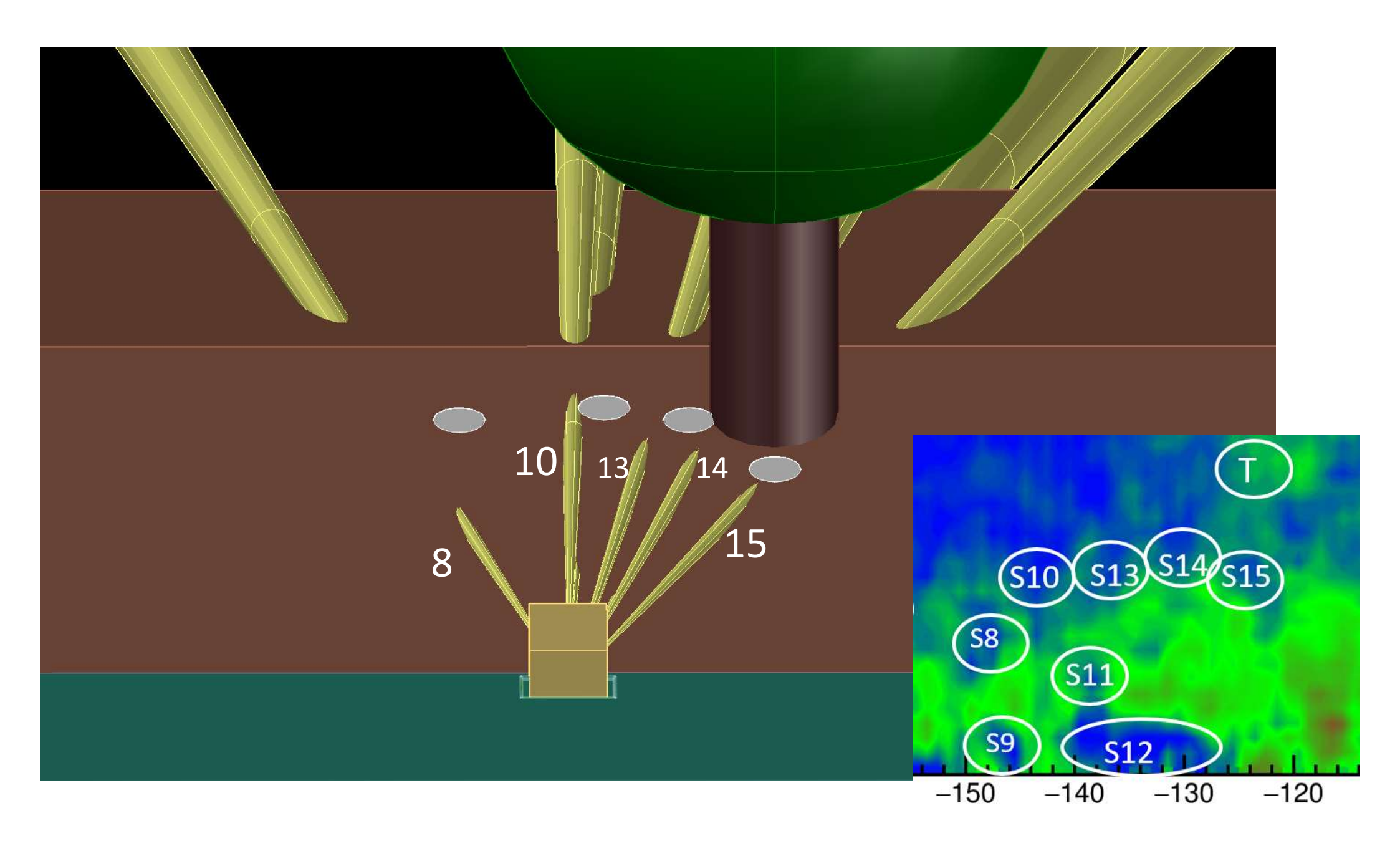
The MIMA detector in Firenze
(Muon Imaging for Mining and Archaeology)

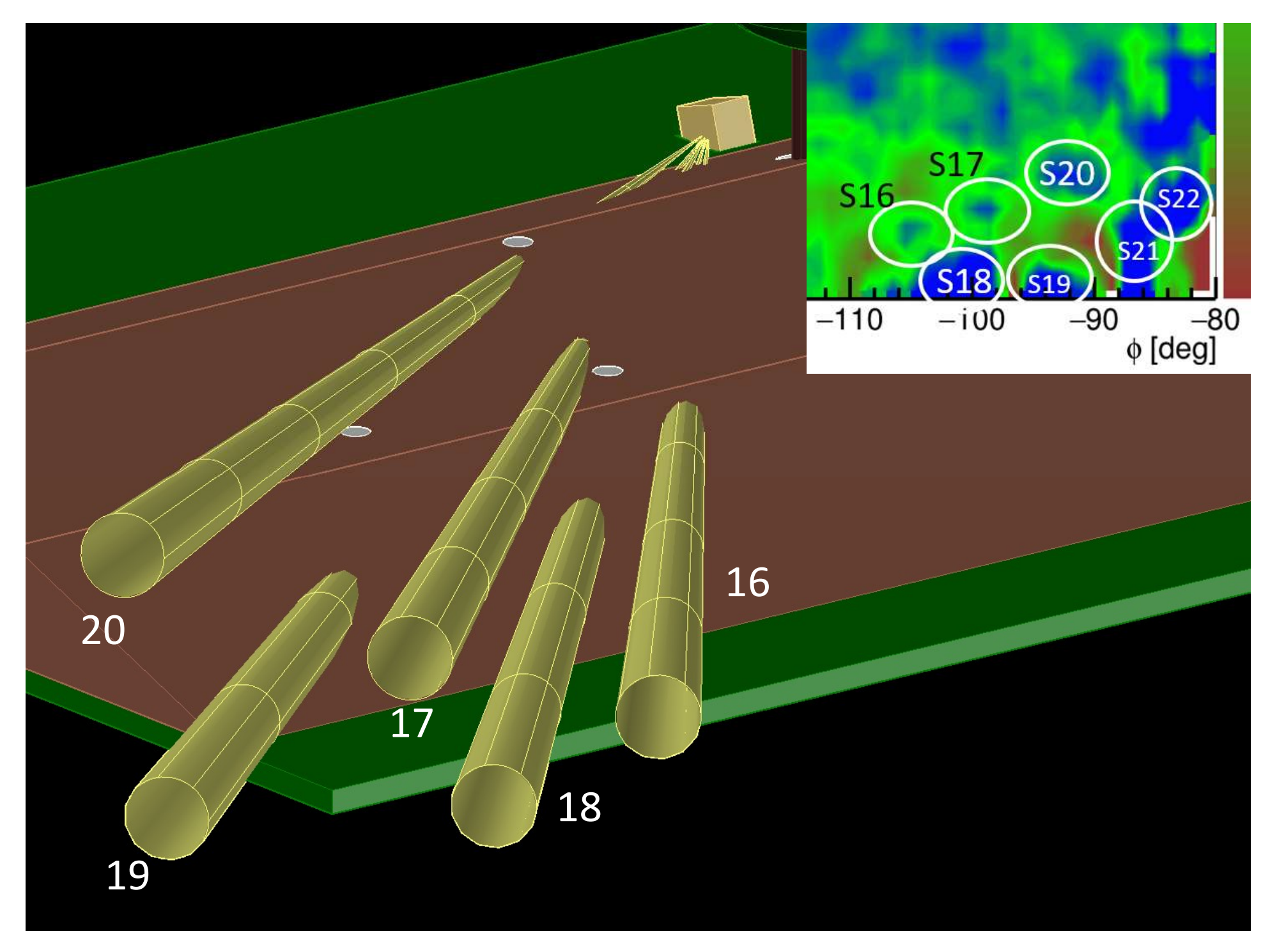




- Based on **plastic** scintillators
- 30 W total power consumption
- 50 cm x 50 cm x 50 cm
- ~ 10 mrad angular res.
- Altazimutal mounting







Holes were found also on the river side. This line shows a coordinate of one of these holes.

